

مقایسه عملکرد مدل‌های شبکه عصبی و فازی در تعیین دبی ماهانه جریان با استفاده از آمار کوتاه مدت

صدیقه انوری^{۱*}، سعید مرید^۲ و بهرام ثتفیان^۳

^۱- دانشجوی کارشناسی ارشد گروه سازه آبی، دانشگاه تربیت مدرس anvari@modares.ac.ir

^۲- دانشیار گروه مهندسی منابع آب، دانشگاه تربیت مدرس

^۳- استاد پژوهشکده حفاظت خاک و آبخیزداری

تاریخ پذیرش: ۸۹/۹/۲۷

تاریخ دریافت: ۸۸/۴/۱۲

چکیده

بهره‌برداری بهینه از سیستم‌های منابع آب و به خصوص تعیین زمان واقعی کارکرد مخازن سدها، مستلزم پیش‌بینی آورد رودخانه‌هاست. در این مقاله عملکرد مدل‌های منطق فازی (FL) و شبکه عصبی مصنوعی (ANN) برای پیش‌بینی یک و دو ماه بعد جریان حوضه کارون در محل ایستگاه هیدرومتری پل شالو با هم مقایسه شده است. در این راستا از سیستم استنتاجی مدانی مدل‌های FL و همچنین شبکه‌های پیشرو سه لایه برای مدل‌سازی توسط ANN استفاده گردید. بررسی عملکرد این مدل‌ها با شاخص‌های ضریب تبیین (R^2), میانگین قدر مطلق خطأ (MAE) و ریشه میانگین مربعات خطأ (RMSE) نشان داد که در شرایط کم بودن داده‌ها، مدل FL نسبت به مدل ANN در پیش‌بینی یک و دو ماه بعد جریان از نظر آماری عملکرد بهتری داشته است. این عملکرد بهتر به طور متوسط مقادیری برابر ۲۵٪ و ۷٪ را به ترتیب برای R^2 و RMSE در پیش‌بینی جریان اسفند ماه به همراه داشته است. نتایج بدست آمده از این دو مدل با مدل رگرسیون خطی چندگانه (MLR) نیز مقایسه گردید که عدم عملکرد مناسب آن را نشان می‌داد.

کلید واژه‌ها: پیش‌بینی جریان، منطق فازی، شبکه عصبی مصنوعی، رگرسیون خطی چندگانه

شکست مواجه می‌شوند [۶]. این مشکل باعث گشته که سیستم‌های فازی و مدل‌های شبکه عصبی مصنوعی، به عنوان مدل‌های غیر خطی برای پیش‌بینی بیشتر مورد توجه قرار گیرند [۶-۱۳]. زیلند و همکاران [۱۷] عملکرد شبکه عصبی مصنوعی را با مدلی به نام ویفر^۱ که برای مدیریت منابع آب حوضه وینپیگ کانادا و پیش‌بینی ورودی‌های هفتگی جریان تا چهار هفته آینده مورد استفاده قرار گرفت، مقایسه کردند، نتایج حاکی از برتری عملکرد مدل‌های شبکه عصبی بود. کولیبالی و همکاران [۱۰] جریان یک تا هفت روز بعد ورودی به سد حوضه چات

مقدمه

پیش‌بینی جریان ورودی به مخزن سد نقش اساسی در برنامه‌ریزی، بهره‌برداری و مدیریت بهینه از سیستم‌های منابع آب دارد. اما دوره پیش‌بینی بسته به رژیم رودخانه تفاوت می‌کند. برای سدی مانند کارون ۳ که بیشترین ورودی به آن در ماههای اسفند و فروردین اتفاق می‌افتد، پیش‌بینی آورد رودخانه در این ماهها حائز اهمیت خواهد بود. بدین منظور، استفاده از مدل‌های رگرسیون و سری‌های زمانی از سابقه نسبتاً طولانی برخوردار است. تحقیقات نشان داده که بسیاری از این مدل‌ها روابط بین متغیرها را خطی فرض کرده و در مدل کردن پدیده‌های غیر خطی اغلب با

^۱ WIFFS

(شبکه عصبی، فازی و رگرسیون خطی) جهت پیش-بینی دانست و در نهایت علاوه بر تفاوت های ذکر شده، تاکید اصلی مقاله حاضر پیش بینی جریان در ماه های خاص بوده است که در این گونه پیش بینی ها، مدل در مرحله واسنجی، با الگوهای کمتری مواجه می شود. بررسی ها نشان داد که در تحقیقات کمی به طول الگوی آموزشی در شبیه سازی و همچنین انتخاب مدل ها پرداخته شده است [۱۶، ۱۷، ۱۰] که این مهم هدف عدمه تحقیق حاضر را رقم می زند. لذا در این مقاله، جریان خروجی از حوضه کارون (محل ایستگاه پل شالو) در ماه های اسفند و فروردین که در مدیریت آبی، کشاورزی و تولید انرژی بر قابی این حوضه نقش اساسی دارند، توسط مدل های شبکه عصبی مصنوعی و منطق فازی پیش بینی و عملکرد آنها در شرایط وجود آمار کوتاه مدت در مرحله واسنجی با هم مقایسه شده است. همچنین نتایج بدست آمده با مدل رگرسیون خطی چند متغیره، به عنوان مدل جنبی مورد ارزیابی قرار گرفته است.

مواد و روش ها

منطقه مورد مطالعه و داده ها

حوضه آبریز کارون در جنوب غرب ایران در حد فاصل طول شرقی^{۳۰}-^{۴۹}° و عرض شمالی^{۳۰}°-^{۳۲}° قرار گرفته است. ارتفاع آن از سطح دریا در محل تقاطع با رودخانه دز حدود ۷۰ متر و تا ارتفاعات ۴۵۰۰ متری دنا و کوه هنگ ادامه می یابد. وسعت این حوضه تا محل ایستگاه پل شالو که در خروجی حوضه واقع است، حدود ۲۴۲۰ کیلومتر مربع می باشد (شکل ۱). آمار دما (میانگین و حداقل، بارندگی و دبی ماهانه به مدت سی سال آبی (۱۳۸۲-۱۳۵۳) برای این حوضه در محل ایستگاه پل شالو، موجود می باشد. با توجه به تحقیقات انجام شده [۱]، آمار هواشناسی و هیدرومتری این ایستگاه معرف خوبی برای پیش بینی جریان حوضه می باشد، از این رو در مدل سازی، تنها به آمار این ایستگاه اکتفا می شود.

دو دیابل^۱ واقع در شمال کانادا را با استفاده از شبکه های عصبی پیشرو سه لایه پیش بینی کردند. همچنین عملکرد این مدل با مدل سری زمانی آرماکس^۲ و مدل بهره برداری از مخزن پروویس^۳ مقایسه شد که نتایج حاکی از برتری مدل شبکه عصبی در پیش بینی ها بوده است. هالید و راید [۱۱]، از تکنیک منطق فازی برای پیش بینی بارندگی ماه ژانویه استفاده کردند. بدین صورت که با دو سری داده های ورودی شامل بارندگی ماه های نوامبر و دسامبر به عنوان سری اول، کل بارندگی فصل های گذشته هند به عنوان سری دوم و در نهایت بارندگی ماه ژانویه به عنوان خروجی، مدل سازی انجام شد. نتایج اجرای مدل های فازی، دلالت بر توانائی بیشتر مدل هنگامی که از داده های سری اول به عنوان ورودی استفاده می شود، دارد. چانگ و همکاران [۹]، از یک مدل جدید فازی به نام FEIS^۴ برای پیش بینی سیل رودخانه لان - یانگ^۵ در تایوان استفاده و عملکرد این مدل را با مدل های شبکه عصبی مقایسه کردند. نتایج حاکی از عملکرد بهتر مدل FEIS نسبت به مدل شبکه عصبی در پیش بینی سیلاب بوده است. الویسی و همکاران [۵]، از دو مدل منطق فازی (ممدانی و سوگنو) و یک مدل شبکه عصبی مصنوعی برای پیش بینی تراز سطح آب رودخانه رنو^۶ واقع در ایتالیا استفاده کردند. نتایج تحقیقات نشان داد که دو مدل بر مبنای منطق فازی، عملکردی بهتر از مدل شبکه عصبی داشته است.

با توجه به مطالب بالا و بررسی سایر منابع، تفاوت سوال این تحقیق با تحقیقات انجام شده دیگر را می توان مربوط به در نظر گرفتن نوع متغیر پیش بینی (جریان رودخانه)، نوع متغیرهای پیشگو (متغیرهای هواشناسی و هیدرومتری) و مدل های بکار گرفته شده داشته است.

¹ Chute- du-Diable

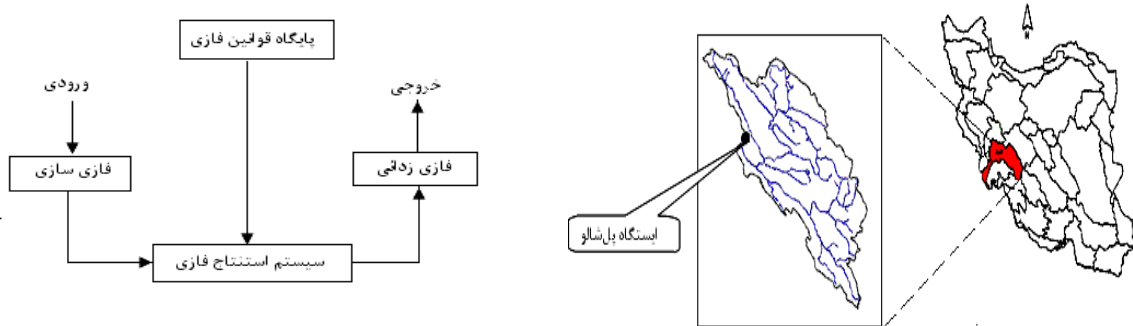
² ARMAX

³ PREVIS

⁴ Fuzzy Exemplar – Based Inference system

⁵ Lan-Yang

⁶ Reno



شکل ۲- شماتیک کلی یک سیستم فازی [۱۵]

مجموعه‌های فازی است و سیستم استنتاجی سوگنو که ورودی این سیستم مجموعه‌های فازی ولی خروجی حقیقی آن به صورت ترکیب خطی از ورودی‌هاست. شکل ۳ شماتیک کلی سیستم استنتاج فازی ممدادی را نشان می‌دهد.

- غیر فازی ساز^۳ : نتایج استنتاج فازی را به خروجی‌های حقیقی تبدیل می‌کند. متداول‌ترین روش غیر فازی کردن، روش مرکز ثقل است [۵] که در آن با استفاده از رابطه زیر خروجی‌های حقیقی مدل فازی بدست می‌آید:

$$z^* = \frac{\int (\mu_B(z) \cdot z) dz}{\int (\mu_B(z)) dz} \quad (1)$$

شکل ۱- موقعیت منطقه مورد مطالعه

مدل منطق فازی (FL)

مدل منطق فازی یک فرایند ریاضی- منطق است که می‌تواند عدم قطعیت‌ها و عدم صراحت‌های موجود در دنیای واقعی را با استفاده از سیستم قواعد اگر- آنگاه فازی مدل‌سازی کند [۴].

سیستم قواعد فازی متشکل از چهار مؤلفه اصلی شکل ۲ است که در ادامه تشریح می‌گردد.

فازی سازی داده‌های ورودی^۱: فرایندی است که ورودی‌های فازی را با استفاده از توابع عضویت به ورودی‌های فازی تبدیل می‌کند زیرا ایده اصلی در منطق فازی آنست که بجای تعلق کامل به یک مجموعه، به هر داده اجازه تعلق جزئی به چندین زیرمجموعه از یک مجموعه کلی را می‌دهد [۱۵]. توابع مثلثی و ذوزنقه‌ای از جمله توابع عضویت مرسومی هستند که در کاربردهای مهندسی استفاده می‌شوند [۴].

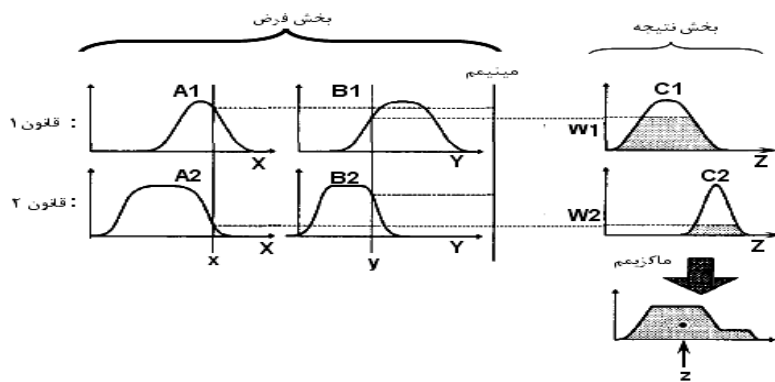
- قواعد فازی^۲ : شامل عبارت‌های اگر- آنگاه است که متغیرهای ورودی را به متغیرهای خروجی ارتباط می- دهد.

- سیستم استنتاج فازی (FIS)^۳: فرایندی که طی آن خروجی قواعد فازی با هم ترکیب و خروجی کلی سیستم بدست می‌آید، دو نوع FIS که عمدهاً در تحقیقات مختلف استفاده شده شامل سیستم استنتاج فازی ممدادی که ورودی و خروجی این سیستم،

¹ Fuzzification

² Fuzzy Rules

³ Fuzzy Inference System



شکل ۳- شماتی کلی سیستم استنتاج فازی ممدادی [۱۲]

(RMSE) استفاده شد که به صورت ذیل تعریف می شوند:

$$R^2 = \frac{\left[\sum_{i=1}^n (Q_i^o - \bar{Q}^o)(Q_i^e - \bar{Q}^e) \right]^2}{\sum_{i=1}^n (Q_i^o - \bar{Q}^o) \sum_{i=1}^n (Q_i^e - \bar{Q}^e)} \quad (۲)$$

$$MAE = \frac{1}{n} \sum_{i=1}^n |Q_o - Q_e| \quad (۳)$$

$$RMSE = \sqrt{\frac{1}{n} \sum_{i=1}^n (Q_o - Q_e)^2} \quad (۴)$$

در روابط بالا Q_o دبی مشاهدهای، Q_e دبی برآورد شده توسط مدل‌ها، n تعداد داده‌ها، \bar{Q} میانگین دبی‌های مشاهدهای و \bar{Q}^e میانگین دبی‌های محاسباتی است. دبی‌های مذکور همگی در مقیاس ماهانه هستند. همچنین در این مقاله از شاخص گرافیکی خط ۴۵ درجه که میزان خطای برآورد را بین دبی‌های مشاهده‌ای و دبی‌های تخمینی به صورت کیفی نشان می‌دهد، نیز استفاده شده است.

آماده‌سازی مدل پیش‌بینی
انتخاب ورودی‌های مناسب، تعیین دوره‌های آموزش و آزمون، پیش پردازش داده‌های ورودی به مدل ANN، تعیین ساختار مدل‌های مورد استفاده در این تحقیق و ارائه نتایج بدست آمده از آن‌ها، از جمله مواردی است که در ادامه تشریح می‌گردد:

در رابطه بالا γ عددی فازی، $(\gamma_B)_{\mu}$ درجه عضویت مربوط به آن و γ^* خروجی حقیقی می‌باشد.

مدل‌های شبکه عصبی مصنوعی (ANN)^۱ ANN یک سیستم پردازشگر توزیعی اطلاعات است و گسترش آن بدين گونه است که پردازش اطلاعات در واحدایی به نام نرون انجام می‌شود. نرون‌ها با اتصالات^۲ وزن‌دار بهم وصل می‌شوند هر نرون مجموع وزنی سینکال‌های ورودی را با بکار بردن یک تبدیل غیر خطی موسوم به تابع تحریک^۳، به سینکال خروجی تبدیل می‌کند [۷]. کاربردی‌ترین نوع شبکه‌های عصبی، شبکه‌های پیشرو سه لایه هستند [۱۰]. تعداد نرون‌های موجود در لایه ورودی و خروجی، بستگی به نوع مسئله دارد ولی تعداد نرون‌های لایه پنهان با سعی و خطأ بدست می‌آید. شماتی کلی و سایر جزئیات مربوط به این مدل‌ها را می‌توان در مراجع [۵، ۷، ۱۰، ۱۴] مشاهده کرد.

ارزیابی مدل‌ها

جهت ارزیابی عملکرد مدل‌ها در این تحقیق، از شاخص‌هایی همچون ضریب تبیین (R^2)، میانگین خطای مطلق (MAE) و ریشه میانگین مربعات خطأ

¹ Artificial Neural Network

² Links

³ Activation Function

انتخاب متغیرهای ورودی

انتخاب مناسب ورودی‌ها نکته مهمی است که قبل از اجرای هر مدل باید به آن توجه شود. در این مقاله برای انتخاب ورودی‌ها از روش همبستگی متقابل (CC)^۱ استفاده شد که در تحقیقات مشابه مانند [۸]، گزارشات مثبتی از آن ارائه شده است. در این روش بین متغیرهای مستقل (مانند متغیرهای هواشناسی) و متغیرهای وابسته (دبی) همبستگی گرفته شد و مواردی که سطح معنی‌داری^۲ ضریب همبستگی در آن‌ها کمتر از ۰/۰۵ باشد، به عنوان ورودی مدل‌ها انتخاب شدند. لازم به ذکر است که این سطح معنی‌داری در اکثر کارهای هیدرولوژیکی معیار قرار می‌گیرد [۲، ۳]. بدین ترتیب بین متغیرهای مستقل یعنی بارندگی، دمای حداقل، دمای میانگین و دبی و هر یک برای ماههای آبان، آذر، دی و بهمن (در مجموع ۱۶ متغیر مستقل) و همچنین دبی ماههای اسفند و فروردین (دو متغیر وابسته) به طور جداگانه همبستگی دو به دویی برقرار

^۱ Cross Correlation

^۲ Significant Level (Sig)

جدول ۱- ضریب همبستگی متغیرهای ورودی برای پیش‌بینی جریان ماه اسفند

ورودی‌ها	ضریب همبستگی	سطح معنی‌داری
دماه میانگین دی	-۰/۴۴۵	۰/۰۱۴
دماه حداقل آذر	-۰/۴۳۷	۰/۰۱۶
دبي بهمن	۰/۴۸۶	۰/۰۰۷

جدول ۲- ضریب همبستگی متغیرهای ورودی برای پیش‌بینی جریان ماه فروردین

ورودی‌ها	ضریب همبستگی	سطح معنی‌داری
دماه میانگین دی	-۰/۵۲۳	۰/۰۰۳
دماه حداقل آذر	-۰/۳۶۰	۰/۰۴۹
دبي بهمن	۰/۴۸۴	۰/۰۰۷

[۱۴، ۱۷]. در این تحقیق به دلیل استفاده از تابع سیگموئیدی با خروجی‌های بین صفر و یک و نیز با بررسی منابع، داده‌های ورودی و خروجی توسط رابطه زیر در محدوده [۰/۱-۰/۹] تغییر مقیاس یافتند [۱۶، ۱۷]:

$$X_n = 0.8 \left(\frac{X - X_{\min}}{X_{\max} - X_{\min}} \right) + 0.1 \quad (5)$$

در این رابطه، X_{\min} کمترین مقدار متغیرهای ورودی، X_{\max} بیشتری مقدار متغیر ورودی و X_n تغییر مقیاس یافته متغیر X است.

مشخصات مدل‌های فازی

نکته اصلی در طراحی مدل‌های فازی تعیین نوع سیستم استنتاج فازی (FIS) است. در این مقاله از FIS ممданی استفاده و بعد از شناسائی ورودی‌ها، برای مدل‌سازی گام‌های استنتاجی ذیل طی شد:

- کلاس‌بندی متغیرهای ورودی و خروجی با توجه به توزیع فراوانی داده‌های مشاهده‌ای [۴] و نظرات کارشناسی در سه دسته: کم^۱، متوسط^۲ و زیاد^۳. بدین

گردید، سپس متغیرهای فوق مطابق با آنچه که در جداول ۱ و ۲ آمده‌اند، به عنوان ورودی مدل‌های شبکه عصبی، فازی و رگرسیون خطی انتخاب شدند. این متغیرها برای پیش‌بینی دبی ماههای اسفند و فروردین شامل دبی بهمن (Q-bahman) (Tmean-azar) و دماه میانگین دی (Tmin-azar) بود. ضریب همبستگی بین هر یک از متغیرهای پیش‌گو و متغیر پیش‌بینی به همراه سطح معنی داری آن‌ها، در جداول ۱ و ۲ آورده شده است.

معماری مدل ANN و پیش‌پردازش ورودی‌ها

با توجه به اینکه بیش از ۹۰٪ شبکه‌های عصبی کاربردی در هیدرولوژی، شبکه‌های پیشرو با یک لایه پنهان هستند [۱۰، ۷]، در این مقاله نیز، از این شبکه‌ها استفاده گردید. همچنین با انجام سعی و خطا بر روی معماری و توابع مدل‌های شبکه عصبی، تابع تحریک سیگموئیدی به دلیل ارائه نتایج بهتر، مورد استفاده قرار گرفت.

به منظور اجتناب از اشباع سیگنال خروجی و کوچک شدن بیش از حد وزن‌های شبکه، داده‌های ورودی و خروجی باید در محدوده‌ای خاص، بسته به نوع تابع تحریک استفاده شده در شبکه، تغییر شکل پیدا کنند

¹ Low

² Medium

برای آزمون مدل‌ها انتخاب شدند. پارامترهای آماری متغیرهای پیشگو و پیش‌بینی برای این دوره‌ها در جدول ۳ آمده است.

منظور با محاسبه میانگین و انحراف معیار مربوط به هر متغیر، اعدادی که پراکنش آن‌ها با انحراف معیار مثبت یا منفی کمی از میانگین فاصله داشت در دسته متوسط، اعدادی که پراکنش آن‌ها با انحراف معیار مثبت زیادی از میانگین فاصله داشت در دسته زیاد و در نهایت اعدادی که پراکنش آن‌ها با انحراف معیار منفی زیادی از میانگین فاصله داشت در دسته کم قرار گرفت.

- مقایسه متغیرهای ورودی با تابع عضویت مثلثی مربوط به هر کلاس: علت انتخاب این نوع تابع عضویت، کم بودن پارامترهای تابع و کاربرد بیشتر آن است [۴، ۵].

- استخراج قوانین اگر- آنگاه مناسب با استفاده از داده‌های تاریخی مشاهداتی.

- ترکیب مقادیر عضویت روی بخش فرض توسط عمل گر AND، انجام عملیات استنتاج و غیر فازی کردن به روش مرکز ثقل.

مدل‌های رگرسیون خطی چندگانه (MLR)^۱

برای پیش‌بینی جریان هر ماه توسط این مدل‌ها با استفاده از داده‌های دوره واسنجی، بین متغیرهای پیشگو و پیش‌بینی، یک مدل خطی چند متغیره برآشش یافته و سپس عملکرد این مدل با داده‌های دوره آزمون مورد ارزیابی قرار گرفت.

تعیین دوره‌های آموزش و آزمون

در هر سه مدل مورد استفاده در این مقاله، داده‌های ۲۰ سال ابتدای دوره آماری (۷۲-۱۳۵۳) برای آموزش و داده‌های ۱۰ سال آخر (۱۳۷۳-۸۲)

¹ High

² Multiple Linear Regression

جدول ۳- مشخصات آماری متغیرهای پیشگو و پیش‌بینی برای دوره‌های آموزش و آزمون مدل‌ها

پارامترهای آماری	مرحله آموزش						مرحله آزمون					
	دماه میانگین دی (°C)	دماه حداقل آذر (°C)	دی بهمن (m³/s)	دی اسفند (m³/s)	دی فروردین (m³/s)	دماه میانگین دی (°C)	دماه حداقل آذر (°C)	دی بهمن (m³/s)	دی اسفند (m³/s)	دی فروردین (m³/s)		
میانگین	۹/۸	۷/۲	۳۷۸/۹	۵۹۹/۴	۷۸۱/۴	۱۱/۰	۸/۵	۳۲۷/۵	۴۷۶	۶۴۸/۲۰		
انحراف	۱/۳	۱/۳	۱۷۳/۳	۳۰۹/۴	۲۷۴/۱۰	۱/۵	۱/۵۰	۱۵۶/۳	۱۸۸/۱	۲۷۳/۵		
مینیمم	۷/۸	۴/۵	۱۶۵/۴	۲۲۵/۶	۴۱۵/۷	۸/۵	۵/۶۰	۱۲۴/۸	۲۰۹/۶۰	۲۹۶/۹		
ماکزیمم	۱۲/۷	۹/۴	۹۰۱/۳	۱۴۹۶/۹	۱۵۸۷/۵	۱۳/۲	۱۰/۶۰	۵۹۳/۱	۷۲۷/۲۰	۱۱۶۲/۷		

داده‌های مشاهداتی، بعضی از داده‌ها در دو کلاس قرار می‌گرفتند، مثلاً در دومین قانون این جدول، برای دمای میانگین ماه دی و حداقل ماه آذر، دو کلاس کم و متوسط وجود داشت که با سعی و خطأ و همچنین در نظر گرفتن شاخص‌های ارزیابی مدل‌ها، کلاس کم، مناسب‌تر شناخته شد. در نتیجه سعی و خطأ روی کلاسهای هر متغیر نیز انجام گرفت و در نهایت، عملکرد سه مدل ANN، FL و MLR با ورودی‌های مشابه بررسی شد که نتایج حاصل در جدول ۵ آمده است.

در ادامه نتایج مدل‌های شبکه عصبی، منطق فازی و رگرسیون خطی چندگانه که از این به بعد در متن مقاله به ترتیب به صورت MLR، ANN، FL نمایش داده می‌شوند ارائه می‌گردد.

نتایج

نتایج پیش‌بینی جریان اسفند ماه

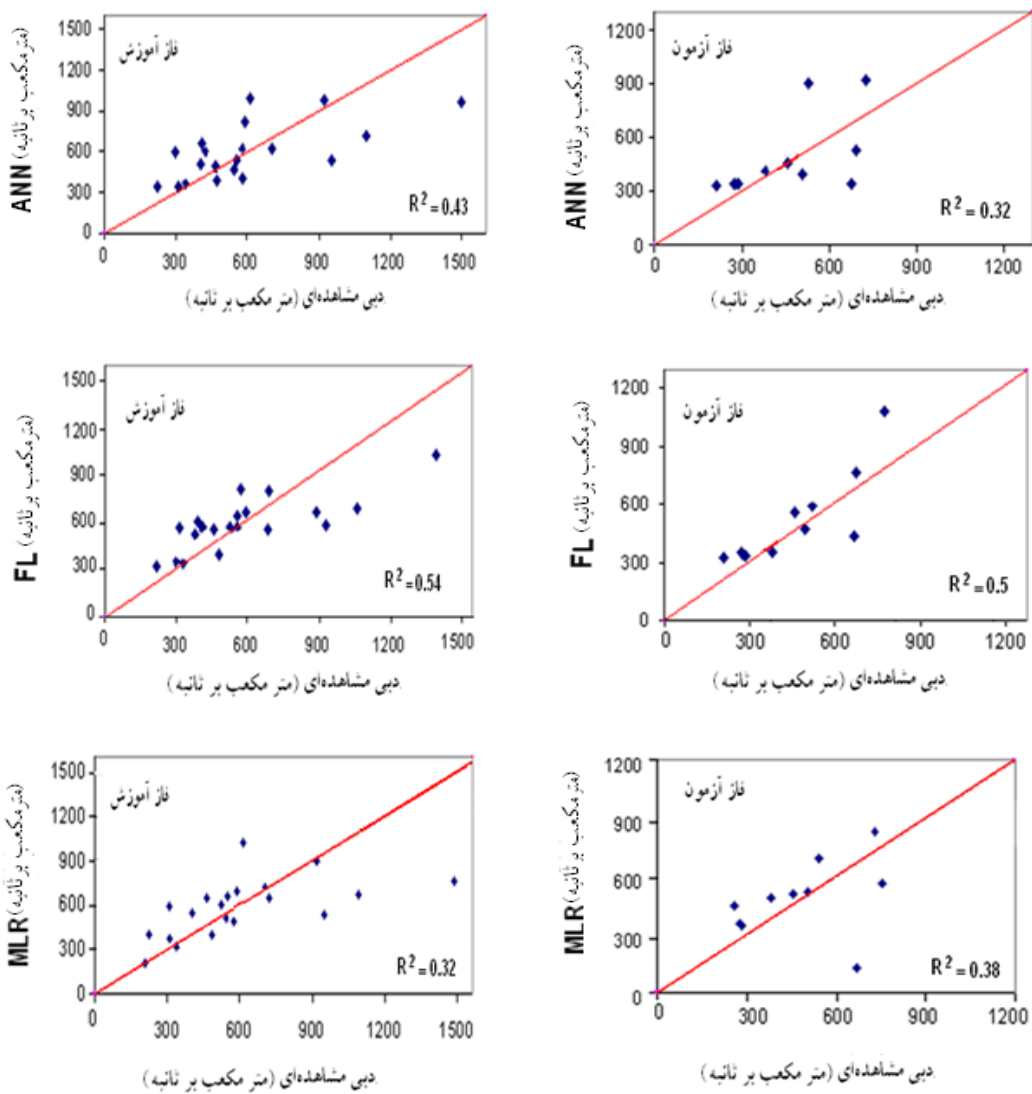
برای پیش‌بینی جریان ماه اسفند تعداد نرون‌های لایه پنهان در مدل ANN با سعی و خطأ ۲ و قوانین استخراج شده برای مدل FL مطابق جدول ۴، بدست آمد. همچنین پارامترهای توابع عضویت و میزان همپوشانی آن‌ها با سعی و خطأ حاصل شد [۴]. لازم به ذکر است که در استخراج قوانین جدول ۴ به وسیله

جدول ۴ - قوانین استخراج شده برای پیش‌بینی جریان ماه اسفند به وسیله مدل FL

فرآوانی	دی اسفند	بخش نتیجه (آتگاه)		
		دی بهمن	دماه حداقل آذر	دماه میانگین دی
کم	متوسط	کم	متوسط	۳
کم	کم	زیاد	متوسط	۲
کم	متوسط	کم	کم	۱
متوسط	متوسط	متوسط	متوسط	۴
کم	کم	متوسط	متوسط	۱
متوسط	کم	کم	متوسط	۱
متوسط	زیاد	کم	متوسط	۲
متوسط	متوسط	متوسط	متوسط	۱
متوسط	کم	کم	متوسط	۲
کم	متوسط	متوسط	زیاد	۱
زیاد	متوسط	متوسط	کم	۱
زیاد	زیاد	کم	کم	۱

جدول ۵-نتایج مدل‌های ANN، FL و MLR در پیش‌بینی جریان ماه اسفند

مدل	آموزش			آزمون			
	RMSE	R ²	MAE	RMSE	R ²	Sig	MAE
ANN	۲۲۶/۹	۰/۴۳	۱۷۰/۱۴	۱۸۸/۹	۰/۳۲	۰/۰۹	۱۴۴/۸۴
FL	۲۱۴/۶۱	۰/۵۴	۱۵۹/۰۸	۱۹۷/۷۶	۰/۵	۰/۰۲۲	۱۳۱/۹۶
MLR	۲۴۸/۷۱	۰/۳۲	۱۷۰/۳	۱۵۸/۵۶	۰/۳۸	۰/۰۶	۱۰۲/۱۷



شکل ۴-نتایج مدل‌های ANN، FL و MLR در مرحله آموزش و آزمون برای پیش‌بینی جریان ماه اسفند

عملکرد را داشته است. شکل ۴ نیز نتایج عملکرد این سه مدل را نشان می‌دهد. همان‌طور که مشاهده می‌شود تمام مدل‌ها در دبی‌های کم عملکردی تقریباً مشابه

همان‌طوری که از جدول ۵ پیداست مدل FL، با توجه به شاخص‌های MAE، RMSE و معنی‌دار بودن خریب تبیین آن ($Sig = 0.022$) در پیش‌بینی جریان اسفند ماه بهترین

یادآوری می شود هنگامی که مقدار آماره t ، بزرگتر از عدد جدول باشد فرض صفر (یعنی صفر بودن مقدار ثابت یا ضرایب رگرسیونی) رد می شود. با توجه به مشخصات آماری مذکور و همچنین جدول ۵، پیداست که مدل رگرسیونی ماه اسفند برای پیش‌بینی جریان این ماه از اعتبار لازم برخوردار نبوده است. در ادامه نیز عملکرد سه مدل ANN، FL و MLR برای پیش‌بینی جریان اسفند ماه با شکل (۴) نمایش داده شده است.

نتایج مدل‌های MLR و FL و ANN در پیش‌بینی جریان ماه فروردین

برای پیش‌بینی جریان ماه فروردین، تعداد نرون‌های لایه پنهان در مدل ANN با سعی و خطأ ۲ و قوانین استخراج شده برای مدل FL، مطابق جدول ۶ بدست آمد.

در نهایت، عملکرد سه مدل ANN، FL و MLR با ورودی‌های مشابه مورد بررسی قرار گرفت که نتایج حاصل در جدول ۷ آمده است.

داشتند و تفاوت عملکرد آنها عمدتاً در دبی‌های زیاد است که مدل FL برای این دبی‌ها قابلیت بهتری داشته است. این بدان علت می‌باشد که در مدل‌سازی به روش FL برای الگوهایی با دبی‌های زیاد هم قوانین جداگانه‌ای وجود دارد، اما ANN تنها تابع مشاهدات و وزن‌های شبکه است که انتکا به مشاهدات دارد. نتایج مدل MLR نیز نشان دهنده عدم عملکرد مناسب این مدل برای پیش‌بینی جریان بود. معادله ۶ و توضیحات بعد آن، رابطه و مشخصات آماری مدل رگرسیونی پیش‌بینی جریان ماه اسفند را نشان می‌دهد:

$$\begin{aligned} Q_{Esf} = & 1074 - 75.1 \times T_{mean.dey} \\ & - 2.8 \times T_{min.azar} + 0.741 \times Q_{bahman} \end{aligned} \quad (6)$$

$$R^2 = 0.32$$

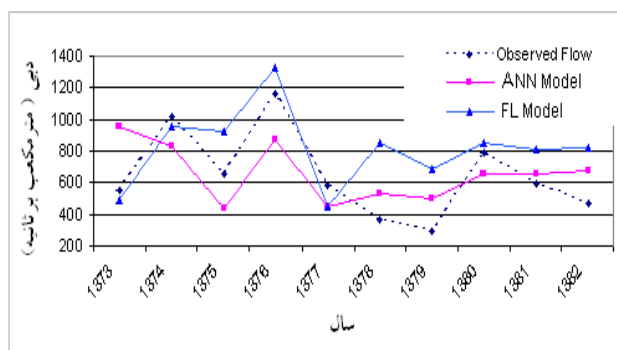
در این رابطه آماره t برای مقدار ثابت رگرسیون و نیز هر یک از متغیرهای $T_{mean-dey}$ ، $T_{min.azar}$ و Q_{bahman} به ترتیب -0.04 ، $-1/33$ ، $1/8$ و 0.82 تعیین گردید. با استفاده از جدول ۴، برای سطح معنی‌داری ۵٪ و درجه آزادی $(n-4) = 16$ (داریم $t_{(0.975,16)} = 2.12$) مقایسه بین آماره‌ها و مقدار بدست آمده از جدول نشان می‌دهد که مقدار ثابت رگرسیون و سه متغیر دیگر رابطه، معنی‌دار نمی‌باشند.

جدول ۶ - قوانین استخراج شده توسط مدل FL برای پیش‌بینی جریان ماه فروردین

فرآواني	بخش نتیجه (آنگاه)	بخش فرض (اگر)		
		دبي بهمن	دبي فروردین	دماي حداقل آذر
دماي ميانگين دي	دماي ميانگين دي	دماي حداقل آذر	دبي بهمن	بخش فرض (اگر)
۳	کم	متوسط	کم	کم
۱	کم	کم	زياد	متوسط
۲	متوسط	متوسط	متوسط	متوسط
۶	متوسط	متوسط	متوسط	متوسط
۱	کم	متوسط	متوسط	کم
۱	زياد	زياد	متوسط	متوسط
۱	متوسط	متوسط	کم	کم
۲	متوسط	زياد	کم	متوسط
۱	متوسط	متوسط	متوسط	کم
۱	کم	متوسط	متوسط	کم
۱	کم	متوسط	متوسط	زياد

جدول ۷- نتایج مدل‌های ANN، FL و MLR در پیش‌بینی جریان ماه فروردین

مدل	آموزش			آزمون			
	RMSE	R ²	MAE	RMSE	R ²	Sig	MAE
ANN	۱۹۸/۱۸	۰/۴۸	۱۷۲/۱۸	۲۱۷/۹۶	۰/۳۱	۰/۱۰	۱۹۹/۵۵
FL	۲۰۶/۲	۰/۴۶	۱۷۲/۳۱	۲۶۳/۰	۰/۴۵	۰/۰۳	۲۱۹/۸۲
MLR	۲۱۷/۴۴	۰/۳۰	۱۸۶/۵۵	۲۰۵/۳۱	۰/۵۲	۰/۰۶۷	۱۹۲/۵۶



شکل ۵- پیش‌بینی جریان ماه فروردین توسط مدل‌های ANN و FL

Qbahman به ترتیب ۱/۸۴، -۰/۲، -۱/۳۱، ۲/۳۹ و ۰/۲ تعیین

گردید. با استفاده از جدول t ، برای سطح معنی‌داری ۵٪ و درجه آزادی ۱۶ ($n=4$) داریم $t_{(0.975,16)} = 2.12$. مقایسه بین آماره‌ها و مقدار بدست آمده از جدول نشان می‌دهد که بجز مقدار ثابت رگرسیونی، سه متغیر دیگر رابطه، معنی‌دار نمی‌باشند. با توجه به مشخصات آماری مذکور و شاخص‌های موجود در جدول ۷، پیداست که این مدل رگرسیونی جهت پیش‌بینی جریان ماه فروردین، از اعتبار کافی برخوردار نیست.

نتایج مدل MLR برای پیش‌بینی جریان ماه‌های اسفند و فروردین، نشان داد که این مدل عملکرد مناسبی در پیش‌بینی‌ها نداشته است لذا از تحلیل‌های بعدی حذف می‌گردد.

مقایسه نتایج مدل‌های ANN و FL در پیش‌بینی جریان ماه‌های اسفند و فروردین

مقایسه عملکرد دو مدل ANN و FL برای پیش‌بینی جریان نشان داد که مدل FL با وجود شرایط

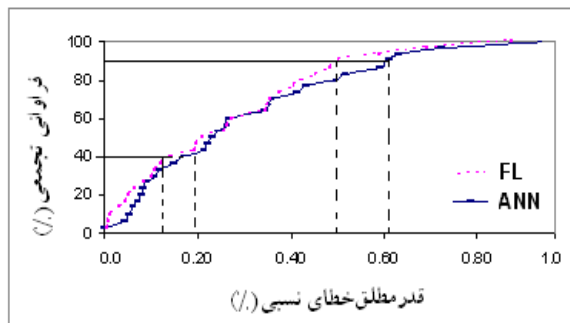
نتایج جدول ۷ حاکی از آنست که مدل FL روند جریان ANN را بهتر از مدل کرده است. همچنین مدل ANN در مرحله آزمون عملکرد ضعیفتری نسبت به مرحله آموزش داشته و خطای فوق برازشی در آن اتفاق افتاده است. از طرف دیگر در ایجاد قوانین فازی علاوه بر در نظر گرفتن آمار موجود، نظرات کارشناسی هم دخیل بوده است که این خود عاملی است که می‌تواند بهبود عملکرد آن را نسبت به مدل ANN سبب شود. عملکرد این دو مدل برای پیش‌بینی جریان ماه فروردین در شکل ۵ آمده است.

معادله ۷ نیز رابطه مدل رگرسیونی پیش‌بینی جریان ماه فروردین را نشان می‌دهد:

$$Q_{far} = 1249 - 64.7 \times T_{mean.dey} - 11.2 \times T_{min.azar} + 0.653 \times Q_{bahman} \quad (V)$$

$$R^2 = 0.3$$

در این رابطه آماره t برای مقدار ثابت رگرسیون و نیز هر یک از متغیرهای $T_{mean.dey}$ و $T_{min.azar}$ و



شکل ۶- نمودار توزیع خطای مدل های ANN و FL در پیش بینی جریان ماه اسفند

MLR برای پیش بینی های ذکر شده، مورد ارزیابی قرار گرفتند. همچنین جهت واسنجی مدل های مذکور، از داده های ماهانه بارندگی، دبی و دمای ایستگاه پل شالو به مدت ۳۰ سال آبی استفاده گردید که نتایج زیر از اجرای مدل ها قابل ارائه می باشد:

- از مجموع متغیر های دبی، بارندگی، دمای حداقل و میانگین (برای ماه های آبان تا بهمن)، دبی ماه بهمن، دمای میانگین ماه دی و دمای حداقل ماه آذر به عنوان بهترین متغیر های ورودی در پیش بینی جریان ماه های اسفند و فروردین انتخاب شدند.
- با استفاده از توزیع فراوانی متغیر های ورودی، تعداد سه کلاس کم، متوسط و زیاد برای ساختن قوانین سیستم استنتاج فازی مناسب شناخته شد.
- با انجام سعی و خطای بر روی ساختار و معماری مدل های ANN، تابع تحریک سیگموئیدی و همچنین تعداد ۲ نرون در لایه پنهان، بهترین نتایج را برای این مدل ها به دنبال داشت.
- با انجام آنالیز CC و همچنین سعی و خطای، مشاهده شد که متغیر های دمایی حوضه، بیشترین تاثیر را بر جریان ماه های اسفند و فروردین داشته اند که این با توجه به برف گیر بودن حوضه قابل تفسیر است.

- شاخص های میانگین خطای نشان داد که در پیش بینی جریان ماه خاص و شرایط مواجه با الگوهای کم آموزشی، مدل FL نسبت به مدل ANN و MLR عملکرد بهتری داشته است و این برتری عملکرد با سایر تحقیقات انجام شده توسط ANN و FL مشابه دارد.
[۹، ۵]

کم داده در پیش بینی یک و دو ماه بعد جریان بهتر از مدل ANN عمل کرده است که این برتری در مراجع دیگر هم گزارش شده است [۵، ۹].

در ادامه نتایج مدل های ANN و FL با استفاده از رسم نمودار توزیع خطای [۱۳] نیز ارزیابی و نتایج آن برای ماه اسفند در شکل ۶ ارائه شده است. در این شکل، محور افقی قدر مطلق خطای نسبی (بر حسب درصد) است که از تقسیم قدر مطلق خطای بر مقادیر مشاهده شده بدست می آید و محور عمودی نیز فراوانی تجمعی است. با توجه به این شکل، مدل FL برای ۴۰ درصد داده ها، خطایی برابر ۱۲ درصد ولی مدل ANN خطایی برابر با ۲۰ درصد را در پیش بینی جریان ماه اسفند به همراه داشته است. همچنین برای ۹۰ درصد داده ها مدل FL خطایی برابر ۵۰٪ را دارا بوده و این در حالیست که مدل ANN خطایی برابر با ۶۲ درصد را در پیش بینی جریان این ماه به همراه داشته است. بنابراین نمودار توزیع خطای، همانند معیارهای RMSE، MAE و R^2 که شاخص های میانگین خطای هستند، مولید آن بود که مدل FL در پیش بینی جریان ماه اسفند، عملکرد بهتری نسبت به مدل ANN داشته است.

نتیجه گیری

مقاله حاضر تلاشی بود برای پیش بینی جریان ماه های فروردین و اردیبهشت رودخانه کارون که در بهره برداری سد کارون ۳ از اهمیت زیادی برخوردار است. با توجه به نوع مسئله و سوال آن، تحقیق با تعداد محدودی الگوی آموزشی مواجه شد از اینرو مدل های ANN، FL و

خطای زیادی همواه بود که در این خصوص استفاده از تکنیک‌های خوشبندی جهت استخراج قوانین و یا استفاده از مدل‌های نرو فازی برای ادامه کار قابل پیشنهاد می‌باشد. همچنین با توجه به برخی بودن منطقه مطالعاتی، احتمال ارتقاء نتایج با بارگیری سری کامل داده‌های تاریخی سطح برف حاصل از تصاویر ماهواره‌ای به عنوان ورودی مدل‌ها وجود خواهد داشت.

- نمودارهای توزیع خطاب نشان داد که به ازای ۹۰ درصد از جریان‌های پیش‌بینی شده در ماه اسفند، مدل FL دارای خطای نسبی برابر با ۵۰ درصد بوده ولی مدل ANN برای همین پیش‌بینی‌ها خطای برابر با ۶۲ درصد را به همراه داشته است در نتیجه نمودارهای توزیع خطاب نیز همانند شاخص‌های متوسط خطاب عملکرد بهتر مدل FL را تایید می‌کنند.

- علیرغم کارکرد بهتر مدل فازی نسبت به مدل‌های شبکه عصبی و رگرسیون چند متغیره در این تحقیق، پیدا کردن قوانین مدل فازی بسیار زمان‌بر و با سعی و

مراجع

۱. انوری، ص. ۱۳۸۷. ارتقاء عملکرد مدل‌های هوشمند جهت پیش‌بینی جریان رودخانه با استفاده از داده‌های توزیع مکانی اقلیمی و سطح برف. پایان‌نامه کارشناسی ارشد، دانشکده کشاورزی، دانشگاه تربیت مدرس، ۱۴۵ ص.
۲. شریفی، م. ر.، آخوند علی، ع. م.، پرهمت، ج. و ج. محمدی. ۱۳۸۶. ارزیابی دو روش معادله همبستگی خطی و کریجینگ معمولی بهمنظور برآورد توزیع مکانی عمق برف در حوزه آبخیز صمصاصی. مجله علوم و مهندسی آبخیزداری ایران، جلد ۱، شماره ۱، ۳۸-۴۲.
۳. نظام السادات، س. م. ج. و ا. شیروانی. ۱۳۸۴. پیش‌بینی دمای سطح آب خلیج فارس با استفاده از رگرسیون چندگانه و تحلیل مؤلفه‌های اصلی. مجله علوم و فنون کشاورزی و منابع طبیعی، جلد ۹، شماره ۳، ۱-۱۲.
4. Adriaenssens, V., De Baets , B., Goethals, P. and De Pauw, N., 2004. Review, Fuzzy rule-based models for decision support in ecosystem management. The Science of the Total Environment, 319: 1–12.
5. Alvisi, S., Mascellani, G., Franchini, M. and Bardossy, A., 2006. Water level forecasting through fuzzy logic and artificial neural network approaches. Hydrology and Earth System Sciences, 10: 1-17.
6. Aqil, M., Kita, I., Yano, A. and Nishiyama, S., 2006. Analysis and prediction of flow from local source in a river basin using a Neuro-fuzzy modeling tool. Journal of Environmental management 10: 1-9.
7. ASCE Task Committee on Application of Artificial Neural Networks in Hydrology, 2000. Artificial neural networks in hydrology, I: preliminary concepts. Journal of Hydrologic Engineering, 5(2): 115-123.
8. Bowden, G., Dandy, G. and Maier, H., 2005. Input determination for neural network models in water resources applications. Part 1-background and methodology. Journal of Hydrology, 301: 75–92.

9. Chang, L., Chang, F. and Tsai, Y. 2006. Fuzzy exemplar-based inference system for flood forecasting, *Water Resources Research*, 41(2): 1-20.
10. Coulibaly, P., Anctil, F. and Bobée, B., 2000. Daily reservoir inflow forecasting using artificial neural networks with stopped training approach. *Journal of Hydrology*, 230: 244-257.
11. Halide, H. and Ridd, P. 2000. Modeling inter-annual variation of a local rainfall data using a fuzzy logic technique, International Research Institute for Climate Prediction, USA.
12. Jang, J. S, R 1993. ANFIS: Adaptive-Network-Based Fuzzy Inference System. *IEEE Transaction on Systems Manual and Cybernetics*, 23(3): 665–685.
13. Nayaka, P.C., Sudheerb, K.P., Ranganc, D.M. and Ramasastri, K.S., 2004. A neuro- fuzzy computing technique for modeling hydrological time series . *Journal of Hydrology*, 291: 52–66.
14. Sajikumar, N. and Thandaveswara, B.S., 1999. A non-linear rainfall–runoff model using an artificial neural network. *Journal of Hydrology*, 216: 32–55
15. Tayfur, G. and Singh, V., 2006. ANN and Fuzzy Logic Models for Simulating Event-Based Rainfall-Runoff. *Journal of Hydrologic Engineerin*, ASCE, 132: 1321-1330.
16. Wang, W., Van Gelderp, H.A.J.M., Vrijling, J.K. and Ma, J., 2006. Forecasting daily streamflow using hybrid ANN models. *Journal of Hydrology* 324: 383–399
17. Zealand, C. M., Burn, D. H., Simonovic, S.P., 1999. Short term streamflow forecasting using artificial neural networks. *Journal of Hydrology*, 214: 32-48.